

Capítulo 1 - Ondas e partículas

Fenômenos ondulatórios

$$\Psi = A \sin \left(\frac{2\pi}{\lambda} (x + vt) \right)$$

↓ ↓ ↓
 Amplitude comprimento de onda tempo
 ↓ ↓ ↓
 posição velocidade

$\Psi^2(x, y, z) \rightarrow$ densidade elétronica no ponto (x, y, z)

frequência: $v = \frac{\nu}{\lambda} = \frac{1}{T}$

freq. angular: $\omega = 2\pi v = \frac{2\pi\nu}{\lambda}$

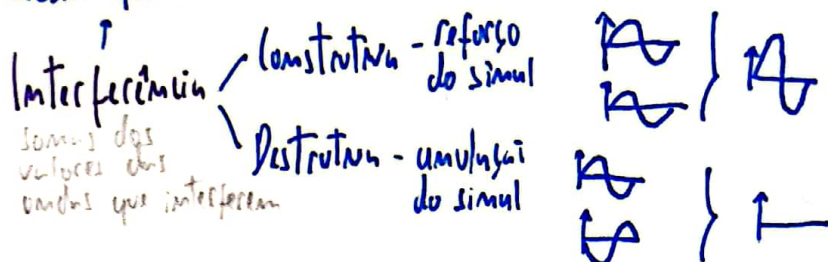
Período: $T = \lambda/v$

Vítor onda: $k = 2\pi/\lambda$

Número onda: $\bar{\nu} = 1/\lambda$

↳ número de ondas por unidade de tempo

mostram que a luz tem caráter ondulatório



Radiação Elétrromagnética

$$E = h\nu$$

$$\lambda = \frac{c}{\nu}$$

$$\nu = \lambda v$$

Intensidade da radiação: $I = \frac{E}{(t+A\cos\alpha)}$

Hipótese de De Broglie (corpuscular e ondulatório)

$$E = h\nu \quad \& \quad E = mc^2$$

$$\Leftrightarrow h\nu = mc^2$$

$$\Leftrightarrow h\nu = h\frac{c}{\lambda} = mc^2 \Rightarrow \frac{h}{\lambda} = mc = p \Rightarrow \lambda = \frac{h}{p}$$

Efeito Fotoelétrico \rightarrow mostra que a luz se comporta como corpusculo

$$E_{imc} = W - E_C$$

e - ionizado

\rightarrow o n.º de e^- ejetados é proporcional à intensidade do feixe ($n = fator$)

\rightarrow só se for fornecida E suficiente (W) é que o eletão saia. Assim, a emissão de e^- depende da frequência da radiação incidente.

Princípio da Incerteza de Heisenberg

$$\boxed{\Delta x \cdot \Delta p_x \geq \frac{h}{4\pi} = \frac{\hbar}{2}}$$

$\rightarrow \frac{\hbar}{4\pi}$

$$\Delta E \cdot \Delta t \geq \frac{h}{4\pi}$$

$$\Leftrightarrow m \Delta x \Delta v_x \geq \frac{h}{4\pi} \rightarrow \Delta E \Delta t \geq \frac{h}{4\pi}$$

Capítulo 2 - Modelo Quântico do Átomo

princípal: $M = 1, 2, 3 \dots$ $M^2 \rightarrow$ níveis orbitais plenos determinando nível

magnetizante: $l = 0, 1, 2, \dots, M-1$ s, p, d, f

magnético: $ml = -l, -l+1, \dots, 0, \dots, l-1, l$

spin: $m_s = -\frac{1}{2}, \frac{1}{2}$

orbitais de $E + bairros$:

\rightarrow têm menor valor somar mais

\rightarrow para o mesmo nível l é de menor n.

Regras imóveis de Wessner



(1s)(2s2p)(3s3p)(3d)(4s4p)(5s5p)

...

Preenchimento Eletrônico

- Princípio de exclusão de Pauli: elétrons diferentes \Rightarrow níveis quânticos diferentes
- Princípio da E. mínima: preencher segundo orden crescente de energia
- Regras de Hund: para preencher um nível de energia, primeiros formos os elétrons em orbitais diferentes, c/ o mesmo spin, e só depois emparelhamos.

Capítulo 3 - Propriedades periódicas dos átomos

Nº atómico efectivo: $Z_{\text{eff}} = Z - S$

\downarrow
efeito do núcleo no e^-
mais exterior é afetado pelos e^-
no seu universo (blindagem)

\uparrow
atómico

\nwarrow estimando
pelos regras de Slater

ao longo do grupo:
começa a ser fez
e depois mantém-se
constante.

Regras de Slater

1. s ou p 0 \rightarrow elétrons exteriores

0,35 \rightarrow elétrons em orbitais do mesmo grupo de Slater (exceto $1s \rightarrow 0$ 2º e vale 0,30)

0,85 \rightarrow elétrons em $M-1$

1 \rightarrow elétrons restantes mais internos

2. d ou f

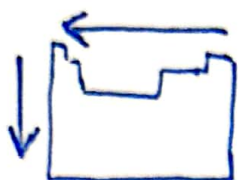
0 \rightarrow elétrons exteriores

0,35 \rightarrow elétrons em orbitais do mesmo grupo

1 \rightarrow restantes elétrons ... internos

Δ retiram-se o elétrons
sobre o qual se
calcula o fator.

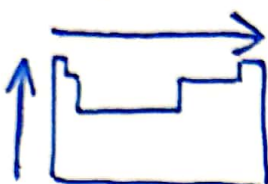
Luz Íônico



mio que contém o e⁻ mais exterior

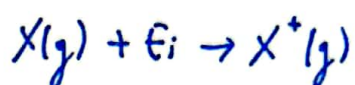
$$R = \text{constante} \times \frac{m^2}{z_{\text{ef}}} \quad m: \text{quantico principal}$$

Energia de Ionização



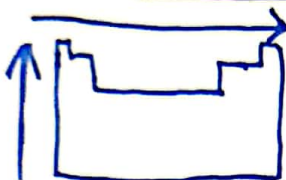
Energia p/ retirar o e⁻ mais exterior

$$\begin{aligned} &+ z_{\text{ef}} \\ &+ E_i \\ &- R_{\text{atm}} \end{aligned}$$



$$E_i \propto \frac{z_{\text{ef}}^2}{m^2}$$

Afinidade Eletrônica

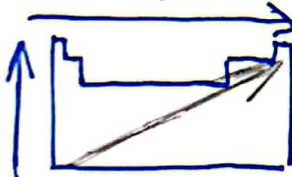


Energia libertada em formação de um mole de iões negativos a partir de átomos neutros



$$E_a(X) = E_i(X^-)$$

Eletronegatividade



Tendência de um átomo, num molécula, para atrair a si os pares de e⁻ partilhados → determina o e⁻ que irá ficar com o seu eletro

$$f = \text{constante} \times \frac{E_i + E_a}{2}$$

Ligação Covalente: há partilha de e⁻, típica não-metálica. E_a e E_i elevadas

Ligação Iônica: cedência de elétrons, típica entre metálicas e não-metálicas

Ligação Metálica: elétrons deslocalizados, difundidos sobre vários núcleos, metálica

Capítulo 4 - Ligação química. Compostos Moleculares

Teoria dos orbitais moleculares (TOM)

→ são combinações lineares de todos os orbitais atómicos, Ψ_i , de todos os átomos

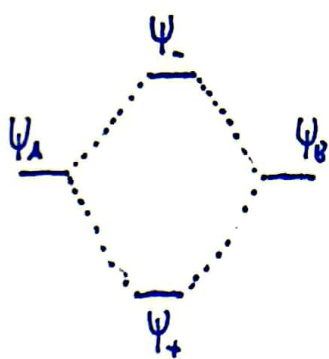
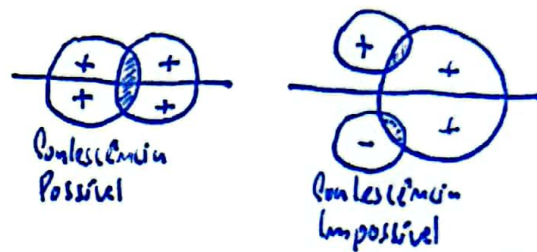
$$(\Psi_j = c_{j1} \Psi_1 + c_{j2} \Psi_2 + \dots + c_{jn} \Psi_n)$$

→ os núcleos estão em repouso, à distância intermolecular de equilíbrio, e os elétrons distribuem-se pelos orbitais moleculares

Critérios de simplificação:

→ Semelhanças de energias: só há mistura de orbitais com energias semelhantes.

→ Critério da coalescência: só há mistura de orbitais se a interferência dos respetivos fún̄c̄es de onda não for nula



formam-se 2 orbitais, um ligante e um anti-ligante

Ligante (Ψ_+)

- Menor Energia (estável)
- interferência construtiva
- elétrons entre os núcleos

Anti-ligante (Ψ_-)

- Maior energia (-ativa)
- interferência destrutiva
- e^- exteriores ao núcleo

Orbitais moleculares: $\sigma \leftrightarrow \pi \leftrightarrow \pi$

Ordem de ligação: $\frac{m^{\circ} e^- \text{ ligantes} - m^{\circ} e^- \text{ anti-ligantes}}{2}$

Magnetismo

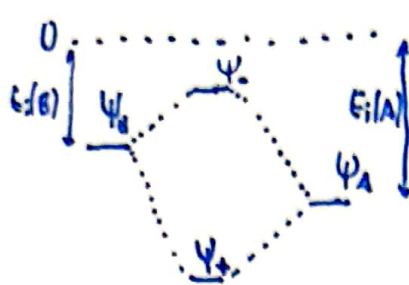
Diamagnetismo: Spin total = 0

Puramagnetismo: Spin total ≠ 0

+ O.L
+ E.L
- Distância entre os átomos

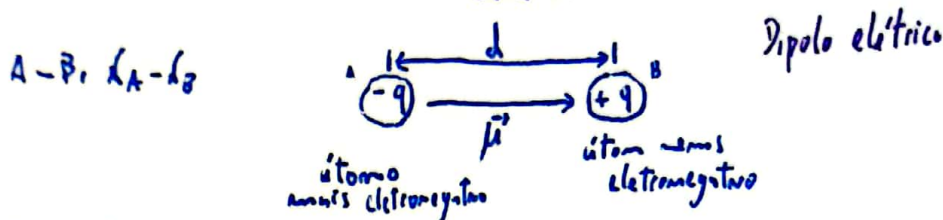
Mistura s-p: ocorre nas moléculas leves (total de $e^- < 14$)
há inversão dos orbitais moleculares σ e π ligantes

Moléculas Diatônicas Heteronucleares



A participação de cada orbital atómico é diferente.
→ Se houver níveis de energia muito distintos entre 2 orbitais, estes não se ligam, formando-se orbitais não ligantes (não contribuem para o ordenamento de ligação).

Momento Dipolar $|\vec{\mu}| = \frac{\text{carga}}{\text{distância}} = \frac{q \times d}{r \times e \times d}$



Valor mais de q é
a carga do elétrico (e)
 $\oplus \rightarrow \odot$ Química
 $\ominus \rightarrow \oplus$ Física

Para obter r :

→ obter Δf

→ ver na tabela periódica a conversão de Δf para percentagem iônica

Nota: Por vezes, para obter d temos que usar a soma dos raios covalentes. O resultado final não será totalmente preciso porque os átomos também têm caráter iônico, que diminui a distância entre ambos.

Teoria da Enlace de Valência bom para descrever moléculas poliatômicas

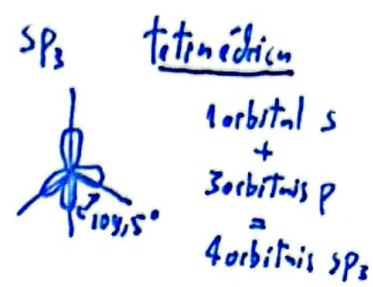
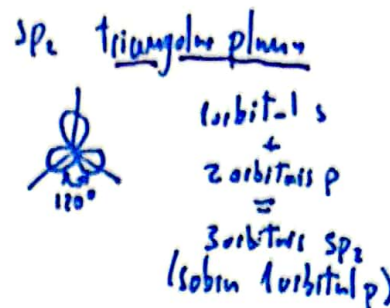
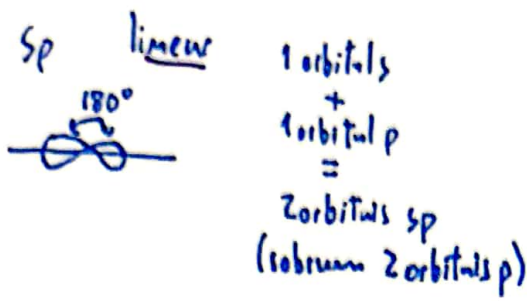
- só se consideram os orbitais atómicos de valência sembiechlich, ou seja facilmente preenchida e extra vazia
- só se combinam orbitais 2 a 2 (uma de cada átomo).
- Os elétrões de camadas interiores conservam caráter atómico.
- Só há orbitais ligantes e não ligantes (atômicas).

Orbital Atómico Híbrido

1. Antes de se estabelecer a ligação, em cada átomo há uma combinação de orbitais (p. ex. s e p) → orbitais atómicos híbridos.
2. As orbitais atómicos híbridos combinam-se com os de valência dos outros átomos para formar orbitais moleculares.

Hibridações

metágeis: C - 4
N - 3
O - 2



$$E_{sp} = \frac{1}{2} E_{2s} + \frac{1}{2} E_{2p}$$

$$E_{sp_2} = \frac{1}{3} E_{2s} + \frac{2}{3} E_{2p}$$

$$E_{sp_3} = \frac{1}{4} E_{2s} + \frac{3}{4} E_{2p}$$

Nota: As orbitais híbridas fazem ligações σ (frontais) com os outros átomos

As orbitais p que "sobraram" fazem ligações π (laterais) com os outros átomos

Orbitais deslocalizados: quando temos vários ligantes π iguais, estes estendem-se a todos os átomos considerados, ficando deslocalizados (os elétrons andam por todos eles) (ex: benzeneo, polieteno)

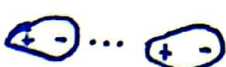
↑ Envolvimento i correspondente ligação π localizada

Momento dipolar de moléculas poliatómicas: resultado da soma vetorial dos dipolos das ligações.

Capítulo 5 - Ligações intermoleculares = ligações secundárias

• Ligações de Van Der Waals

1. Keesom (Dipolo permanente - Dipolo permanente) moléculas polares ($\mu \neq 0$)

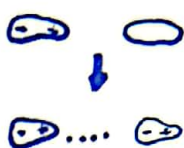


$$E_k \propto \frac{M_1^2 \times M_2^2}{r^6 \cdot T}$$

menor T \Rightarrow menor retenção das moléculas

+ importantes em moléculas pequenas e/ou elevado menor ligante

2. Debye (Dipolo permanente - Dipolo induzido) moléculas polares ($\mu \neq 0$) e/ou não polares ($\mu = 0$)



$$E_d \propto \left(\frac{M_1 \cdot \alpha_2}{r^6} + \frac{M_2 \cdot \alpha_1}{r^6} \right)$$

T não afeta, pois o dipolo induzido está sempre a acompanhar o dipolo induzido, mesmo que este rode.

$\alpha \rightarrow$ Polarizabilidade (facilidade com que os nuvens eletrônicas se deformam por efeito de um campo elétrico).

3. London (Dipolo instantâneo - Dipolo induzido) entre quaisquer moléculas

$$E_L \propto \frac{\alpha_1 \alpha_2}{r^6}$$

Moléculas grandes \rightarrow forças de London têm menor contribuição (pois são mais polarizáveis).

Ligações de Hidrogênio (+ fortes)

Quando há um H ligado a um átomo muito eletromagnético (F, O, N), perto de outro átomo muito eletromagnético com um par de e⁻ não pairados

Estrutura $\begin{matrix} \text{cada} \\ \text{folha} \end{matrix}$

Propriedades que dependem das F. Intermoleculares

- Temperaturas de: fusão e ebulição ligação + forte \Rightarrow + T de fusão / ebulição
- tensão superficial
- Viscosidade e miscibilidade de líquidos
 - ↖ mede a resistência à deformação

Capítulo 6 - Polímero: Estrutura e propriedades

[Polímeros: macromoléculas originadas por repetição regular de uma unidade (monômero)]

→ são muito grandes → a intensidade das forças intramoleculares aproxima-se da intensidade das forças intramoleculares → podem não conseguir entrar em ebulição / ligações covalentes destruídas unidas de atingir a Tm (elevada)

Reações de Polymerização: combinação de monômeros → polímero

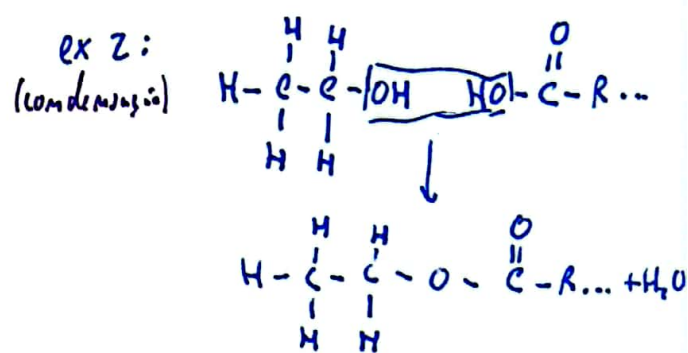
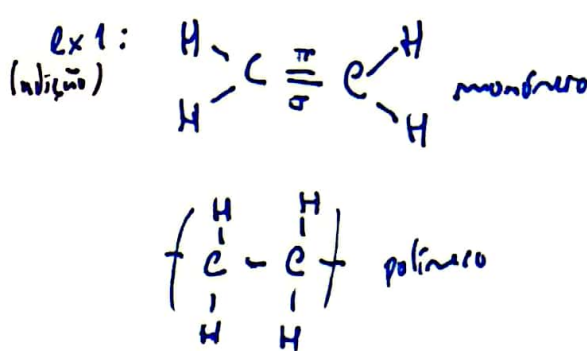
1. Reação de Adição: Quebra de ligação dupla → fica "livre" uma ligação simples.

Iniciação → Propagação (crescimento) → Terminação
utensílio do monômero o monômero ativo reage sequencialmente com outros monômeros conclusão da reação

2. Reação de Condensação: Quando os monômeros têm grupos funcionais.

- Há libertação de uma molécula de H_2O (ou outras moléculas polares como HCl ou CO_2)

muito se
precisa um
iniciador

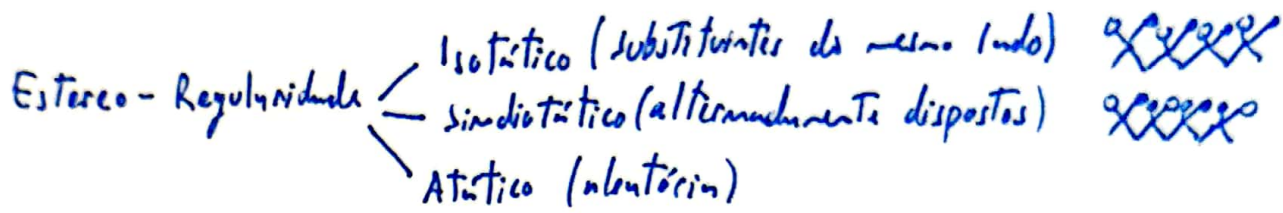
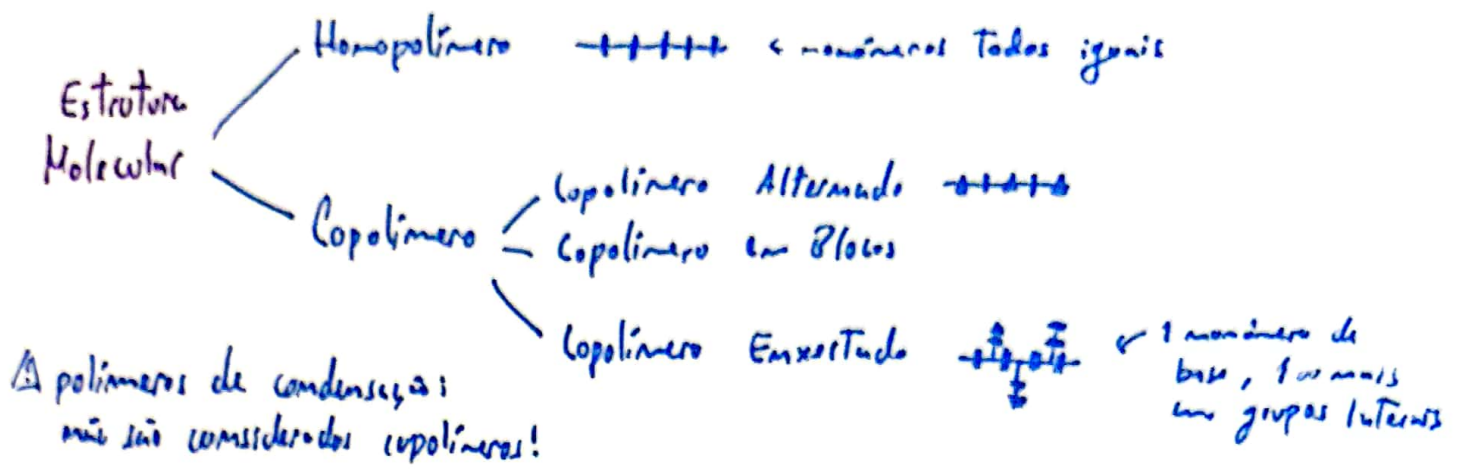


Peso Molecular médio: $M_M = \frac{\sum N_i M_i}{\sum N_i} \rightarrow$ massa total
 \rightarrow número de moléculas

Peso Molecular ponderal: $M_w = \frac{\sum N_i M_i^2}{\sum N_i M_i}$

$$I.P. = \frac{M_w}{M_M}$$

↓
índice de polidispersão



Fórcas intermoleculares entre polímeros

- Interações de Laddom muito fortes! pois são moléculas muito grandes
- Ligações de Hidrogênio → têm energia muito elevada → dão muita coesão à estrutura
- Ligações Cruzadas → ligações entre cadeias → menor rigidez, insolubilidade
 - Covalentes → não é possível alterar a forma da amostra (P. Termoendurecido)
 - Iônicos → podem ser destruídos alterando a forma da amostra (P. Termoplástico)

temp. de transição vitrea: T_v

temperatura abaixo da qual deixa de haver liberdade do movimento das cadeias (o polímero fica com comportamento típico de um vidro).
só para polímeros amorfos

T_v depende:

- Flexibilidade da cadeia principal quanto menor \Rightarrow mais baixa T_v
- Precisão de grupos internos reduzem a mobilidade \Rightarrow aumenta T_v
- Peso molecular médio
- Velocidade de aglomeramento

Densidade das ligações \Rightarrow determina o grau de deformação máxima antes da ruptura.

Polímero → Anárquico (arranjo desordenado, geralmente transparente)

→ Semicristalino (mais densos, mais resistentes à deformação e à dissolução)

Fibra → fortes interações por ligações de H entre cadeias \Rightarrow dificuldade de deslizamento das cadeias uns sobre os outros

Capítulo 7 - Metais

Metais

- E_i e E_a muito baixos \Rightarrow baixa d. (partilha de e⁻ entre os átomos de um cristal)
- Elevada densidade
- Elevada condutividade térmica e elétrica
- Maleabilidade e ductibilidade

Estruturas cristalinas dos Metais (Modelo das esferas rígidas)

Planos compactos (ocupação máx. do espaço) → podemos empilhar de 2 maneiras

ABABA...
ABCABC...

1º e 3º planos equivalentes
3 planos não equivalentes

Estruturas Compactas

H.C) E. Hexagonal compacta ABABA...

→ cél. unitária: prisma hexagonal

→ índice de coordenação: 12

→ n° de átomos com o qual cada átomo está em contacto

Diagrama Compacta:
direção segundo o qual os átomos se tocam diretamente



C.F.C) E. Cubico de faces centradas ABCABC...

→ cél. unitária: cubo de faces centradas

→ índice de coordenação: 12



Planos semi compactos → A,A uns por cima dos outros

→ A,B,A intercalados

Estruturas Semicompactas

C.S) E. cúbico simples A₁A

→ cél. unitária: cubo simples

→ índice de coordenação: 6



C.C) E. cúbico de corpo centrado A₁BA

→ cél. unitária: cubo de corpo centrado

→ índice de coordenação: 8



Densidade Teórica do Metal

$$\mu = \frac{\text{Massa da cél. unitária}}{\text{Volume da cél. unitária}} \rightarrow \frac{\text{M. unitária}}{N_a}$$

Volume da cél. unitária \rightarrow usaremos r como raio do átomo

(S) E. cúbica simples

- Cada átomo (vértice) é dividido por 8 cubos. Assim cada um só contribui com $1/8$ da sua massa: $m = (8\text{átomos} \times \frac{1}{8}) \times \frac{M}{N_a} = \frac{M - \text{unità}}{N_a}$ (único)

- Cadaaresta é 2 vezes o raio atómico, logo $V = (2r)^3$

Assim,

$$\boxed{\mu = \frac{M}{8r^3 \cdot N_a}} \quad \text{g cm}^{-3}$$

(cc) E. cúbica de corpo centrado

- Cada átomo dos vértices contribui $1/8$ e o átomo central contribui inteiramente; Assim, a massa é: $m = (8 \times \frac{1}{8} + 1) \times \frac{M}{N_a} = \frac{2M}{N_a}$

- A direção compacta é a diagonal do cubo, logo $V = (4r/\sqrt{3})^3$

Assim,

$$\boxed{\mu = \frac{9M}{32\sqrt{3}r^3 \cdot N_a}}$$

(Fc) E. cúbica de faces centradas

- Átomos dos vértices: $1/8$ i átomos das faces: $\frac{1}{2}$; $m = (8 \times \frac{1}{8} + 6 \times \frac{1}{2}) \frac{M}{N_a} = \frac{9M}{N_a}$
- A direção compacta é a diagonal da face, $V = (2\sqrt{2}r)^3$

Deste modo,

$$\boxed{\mu = \frac{M}{4\sqrt{2}r^3 \cdot N_a}}$$

(Hc) E. Hexagonal Compacta

- Átomos dos vértices: $1/6$ i Átomos do centro da base: $1/2$; 3 átomos no meio que contribuem totalmente. Ou seja, $m = (12 \times \frac{1}{6} + 2 \times \frac{1}{2} + 3) \frac{M}{N_a} = \frac{6M}{N_a}$

Obtemos,

$$\boxed{\mu = \frac{M}{4\sqrt{2}r^3 \cdot N_a}}$$

Interstícios:



Dimensão dos interstícios: estimativa do raio da menor esfera que pode ser acomodada sem perturbar os átomos. (importantes nas ligas metálicas!)

$$\cdot \text{Octaédrica: } r_{i.o} = 0,73r \quad \rightarrow \text{raio do átomo}$$

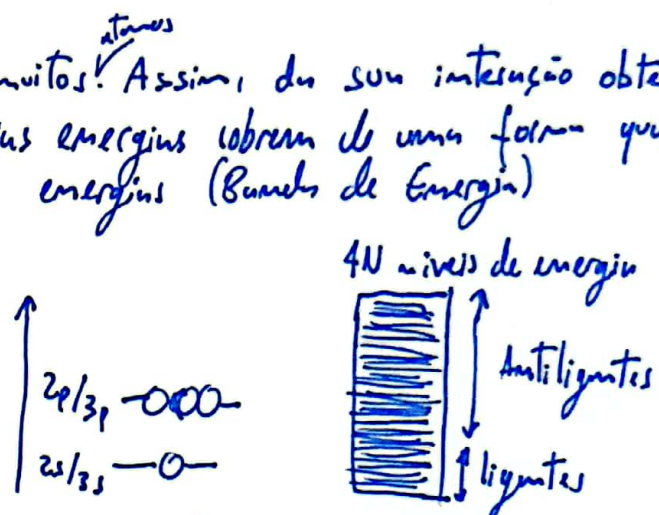
$$\cdot \text{Tetraédrica: } r_{i.t} = 0,225r$$

T.O.M. / C.L.O.A Aplicada nos Metais
 (Teoria das bandas)

Os metais formam cristais com anúitos! Assim, da sua interação obtemos N orbitais "moleculares" deslocalizadas, cujas energias cobrem de uma forma que continua um determinado grupo de energias (Bandas de Energia)

Metais dos 2º e 3º períodos:

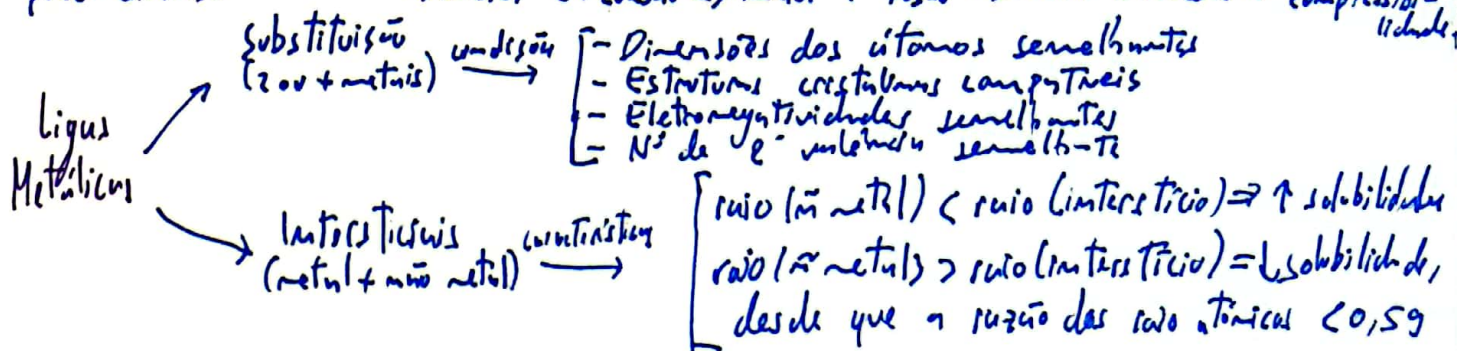
4 orbitais de valência, logo
 para um cristal com N átomos
 obtémos $4N$ orbitais atómicos



Nota: Numa banda de energia, as repulsões intereletroâmicas têm como resultado global o aumento das energias de todos os níveis da banda \rightarrow o número de orbitais ligantes é menor que metade do número total de orbitais da banda.

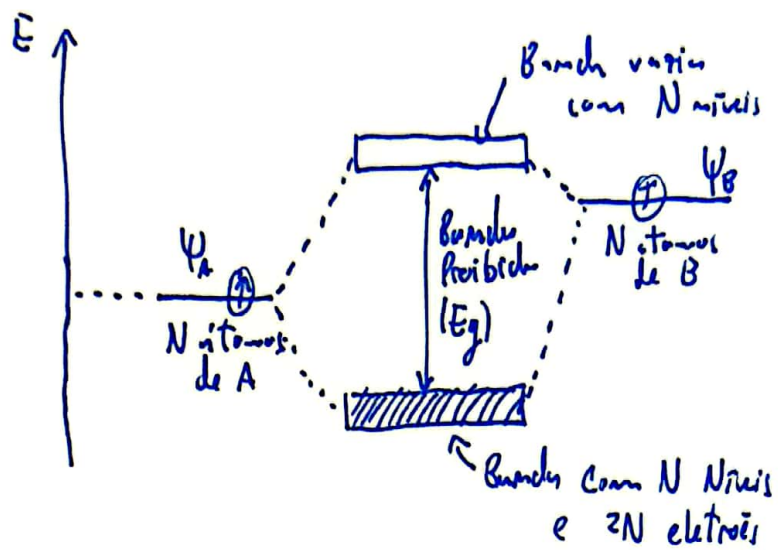
Energia de coesão: energia necessária p/ destruir a estrutura cristalina, ou seja, destruir completamente as ligações entre os átomos do metal.

\rightarrow tanto maior quanto maior for o nº de orbitais ligantes da banda que são preenchidos e o saldo entre orbitais ligantes preenchidos e antiligantes preenchidos. \rightarrow maior E. coesão \Rightarrow maior T fusão \Rightarrow menor E. volátil \Rightarrow menor compressibilidade.



Capítulo 8 - Compostos iônicos

Compostos iônicos: Átomos c/ eletronegatividades distintas \Rightarrow transferência de elétrons
 Nunca existem compostos 100% iônicos \rightarrow há sempre uma contribuição covalente
 tanto maior quanto maior ΔE



- Maior diferença de eletronegatividades \Rightarrow maior largura da Bande Proibida
- $E_g > 3\text{ eV} \rightarrow$ isolante
- $E_g \leq 3\text{ eV} \rightarrow$ semicondutor

Número de coordenação: número de íões negativos que se pode colocar à volta do íon.

$$8 \rightarrow \text{coordenação cúbica} \quad \frac{r_c}{r_A} \geq 0,732 \quad u = \frac{2r_c + 2r_A}{\sqrt{3}}$$

$$6 \rightarrow \text{coordenação octaédrica} \quad \frac{r_c}{r_A} \geq 0,414 \quad u = 2r_c + 2r_A$$

$$4 \rightarrow \text{coordenação tetraédrica} \quad \frac{r_c}{r_A} \geq 0,225 \quad a = \frac{4}{\sqrt{3}}(r_c + r_A)$$

Estruturas + comuns:

Composto	Es. Típico	Rede	Lugar de posição Peso da rede	$\frac{r_c}{r_A}$	Interações	Ocupação ⁺
NaCl	1:1	CFC	Cl^-	0,52	octaédricos	100%
$\text{Sulfato} \sim \text{ZnS}$	1:1	CFC	S^{2-}	0,40	tetraédricos	50%
$\text{Fluoreto} \sim \text{CaF}_2$	1:2	CFC	Ca^{2+}	0,73	tetraédricos	100%
CsCl	1:1	CS	Cl^-/Cs^+	0,93	cúbicos	100% ocupado

→ praticamente todos os compostos iônicos irão corresponder a um destas 4 situações.

* Nota: $n =$ interstícios octaédricos = nº átomos das estruturas

$m =$ interstícios tetraédricos = $(2x)$ nº de átomos da estrutura

Energia Reticular (U): energia positiva que forma de um cristal iônico (estado gaseoso perfeito, $T=0K$).

$$U = - \frac{A \cdot k \cdot z_+ \cdot z_- \cdot N_A}{r_0} \times \left(1 - \frac{1}{m} \right)$$

condicionada por:

$\rightarrow +$ distância interiônica $\rightarrow U$ diminui

$\rightarrow +$ carga dos íons $\rightarrow U$ aumenta

$$U = U' + U^N$$

\uparrow repulsão entre
íons adjacentes.

\uparrow interações
entre íons

$$U \propto \frac{z_+ z_-}{r_0 + r_c}$$

$r_0 = r_A + r_C$ (distância) depende
 $A = \text{constante de Madelung}$ /
(característica da geometria do
cristal).

$m = \text{característica do cátion e anión}$

$z_+, z_- = \text{cargas do catião e anión}$

$$k = e^2 / (4\pi \epsilon_0)$$

Propriedades dos Cristais Iônicos

- Maior Energia Reticular \Rightarrow maior coesão $\not\Rightarrow$ maior estabilidade da estrutura do composto.
- Maior E. reticular \Rightarrow maior fusão e menor sublimação
- Maior E. reticular \Rightarrow maior dureza
- Frágeis (é fácil quebrar)
- Indefornáveis
- Solubilidade \rightarrow aumento de temperatura dos íons
- Condutibilidade \rightarrow geralmente não são condutores elétricos
(SÃO ISOLANTES) por vezes
é condutor
íonico

Capítulo 9 - Termodinâmica

sistema →

- isolado → não troca energia nem matéria com o exterior
- fechado → só trocas de energia
- aberto → trocas de energia e matéria

$$\text{Energia: } E = E_c + E_p + U \quad \begin{matrix} E_{\text{cinético}} \\ E_{\text{potencial}} \end{matrix} \quad \begin{matrix} \leftarrow \\ \leftarrow \end{matrix} \quad \begin{matrix} \text{Energia interna} \\ E_p = \text{constante} \end{matrix}$$

Num sistema em repouso, submetido a um campo exterior constante: $\Delta E = \Delta U$

1º Lei da termodinâmica: a energia interna do universo permanece constante
(lei da conservação de energia → está só se transforma)

$$\Delta U = q + W$$

↑ ↑
 calor trabalho

convenção: ΔU positivo quando a energia do sistema aumenta

Funções de estado: não dependem do modo de transformação, apenas do estado inicial e final (E. interna, entalpia, entropia, Gibbs, etc)

ex: a energia interna (U) é uma função de estado, logo:

$$\Delta U = U_f - U_i$$

Nota:

Enthalpia (H): calor transferido numa transformação a pressão constante ($H = U + pV$)

Trabalho das forças de pressão: $dW = -p dV$
Potencial químico: $\mu_i = \mu_i^\circ + RT \ln(p/p_0)$

$$\Delta H = H(\text{produtos}) - H(\text{reagentes}) \rightarrow \text{pois é uma função de estado}$$

No estado padrão:
condições de referência

$$\Delta H_r^\circ = \sum_i v_i \Delta H_f^\circ (\text{produto } i) - \sum_j v_j \Delta H_f^\circ (\text{reagente } j)$$

$\Delta H < 0 \rightarrow \text{reação EXOTÉRMICA}$
 $\Delta H > 0 \rightarrow \text{reação ENDOTÉRMICA}$

Entropia (S): descreve o número de configurações possíveis de um sistema.

Associada à desordem.

$$\Delta S = S(\text{produtos}) - S(\text{reagentes})$$

No estudo padrão

$$\Delta S^\circ = \sum_i v_i \Delta S^\circ (\text{produto } i) - \sum_j v_j \Delta S^\circ (\text{reagente } j)$$

2ª Lei da Termodinâmica: um processo é espontâneo quando aumenta a entropia (desordem) do universo.

Energia livre de Gibbs (G): $G = H - T \cdot S$

$\Delta G = 0 \Rightarrow$ sistema em equilíbrio

Transformação espontânea \Rightarrow diminuição da Energia livre de Gibbs ($\Delta G < 0$)

No estudo padrão: $\Delta G_r^\circ = \sum_i v_i \Delta G_f^\circ (\text{produto } i) - \sum_j v_j \Delta G_f^\circ (\text{reagente } j)$

A $\Delta G = \Delta G^\circ + RT \cdot \ln Q$

• em equilíbrio: $\Delta G^\circ = -RT \cdot \ln(K_p)$
 $(\Delta G = 0)$

Em que, tendo uma reação $\alpha A + \beta B \rightarrow \gamma C + \delta D$: $\Delta G_R^\circ = \Delta H_R^\circ - T \cdot \Delta S^\circ$

$$Q \rightarrow K = \frac{[C]^\gamma [D]^\delta}{[A]^\alpha [B]^\beta}$$

NOTA: $Q = K$ quando
está em equilíbrio ($\Delta G = 0$)

$$(Quociente \text{ Reacional}) \rightarrow Q = \frac{P_C^\gamma \times P_D^\delta}{P_A^\alpha \times P_B^\beta}$$

Mais variável
quase nula com
" T

NOTA:

Estudos da matéria	GÁS	sólido em solução diluída	Líquido puro / solvente líquido puro	Elementos puros na forma alotrópica + Estável ($25^\circ C, 1 \text{ atm}$)
Estudo padrão	$P = 1 \text{ bar}$ $\approx 1 \text{ atm}$	$[] = 1 \text{ M}$	$\alpha = 1$ utividade, $u = \frac{P}{P_0}$	$\Delta H_f^\circ = 0, \Delta G_f^\circ = 0$

$a \rightarrow$ intensidade:

→ para soluções diluídas, a é proporcional à concentração

→ para sólidos, líquidos puras, solventes $\rightarrow a=1 \rightarrow$ por isso é que eles não aparecem nas constantes de equilíbrio.

As constantes de equilíbrio (K) são AVIMENSIONAIS (não têm unidades)

valor $\left\{ \begin{array}{l} Q = m c \cdot \Delta T \\ Q = m c \cdot \Delta T \end{array} \right.$

Capítulo 10 - Cinética e equilíbrio químico:

velocidade de uma reação \rightarrow proporcional ao produto das concentrações

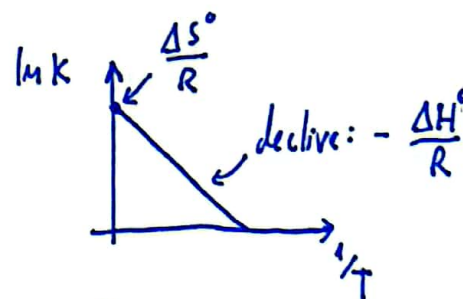
equilíbrio ($\Delta G=0$) \Rightarrow velocidade da reação direta IGUAL à da reação inversa

constante de equilíbrio (K_c) da reação GLOBAL \rightarrow pode ser obtida MULTIPLICANDO as constantes de equilíbrio das reações parciais (que somam da global).

Princípio de Le Chatelier: um sistema em EQUILÍBRIO sujeito a uma PERTURBAÇÃO exterior reage n. est., evoluindo de forma a contrariar o seu efeito

Equação DE VANT HOFF:

$$\ln K = \frac{\Delta S^\circ}{R} - \frac{\Delta H^\circ}{R} \times \frac{1}{T}$$



K e $\Delta G^\circ \rightarrow$ variam significantemente com a Temperatura

ΔH° e $\Delta S^\circ \rightarrow$ variam pouco com a temperatura

- Reação endotérmica ($\Delta H^\circ > 0$) $\Rightarrow K_c$ aumenta c/ a T } $\left. \begin{array}{l} \text{O aumento da T favorece} \\ \text{as reações endotérmicas e} \end{array} \right\}$
- Reação exotérmica ($\Delta H^\circ < 0$) $\Rightarrow K_c$ diminui c/ a T } desfavorece as exotérmicas

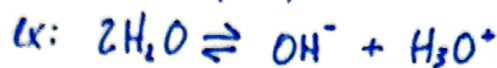
Reações Ácido - Base:

segundo Brønsted

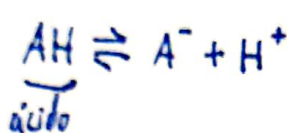
Ácido: doador de protões (H^+)

Base: aceitador de protões (H^+)

ANFOTÉTICOS → substâncias que podem funcionar como ácido ou como base



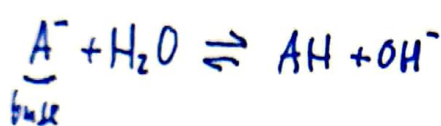
• Constante de Acididade (K_a)



$$K_a = \frac{[\text{A}^-][\text{H}^+]}{[\text{AH}]}$$

$K_a > 1 \rightarrow \text{ácido forte}$

• Constante de Basicidade (K_b)



$$K_b = \frac{[\text{AH}][\text{OH}^-]}{[\text{A}^-]}$$

$$K_w = K_a \times K_b$$

$$K_w = [\text{H}_3\text{O}^+][\text{OH}^-] \rightarrow \text{a } 25^\circ\text{C}, K_w = 1,0 \times 10^{-14}$$

$$\text{pH} = -\log_{10}([\text{H}_3\text{O}^+])$$

água neutra: $\text{pH} = 7$ (25°C)

A 25°C , $\text{pH} \in [0; 14]$

$$\text{pOH} = -\log_{10}([\text{OH}^-]) \Rightarrow \text{pH} + \text{pOH} = 14$$

concentração do sol dissolvida

Reação de Dissolução - Precipitação: solubilidade(s) → concentração da solução saturada do sal

• Produto de Solubilidade (K_s) ← só para sais pouco solúveis



$$K_s = [\text{A}]^m [\text{B}]^m$$

→ velocidade de dissolução igual à velocidade de precipitação

Equilíbrio

$$S = \left(\frac{K_s}{m^m \times M^m} \right)^{\frac{1}{m+k}}$$

Relação entre SOLUBILIDADE e PRODUTO DE SOLUBILIDADE

Efeito do jão comum ⇒ reduz a solubilidade do composto

K_s é constante, e há + produto (o jão comum), logo o reagente tem que se dissolver menos

Reações de oxidação - redução

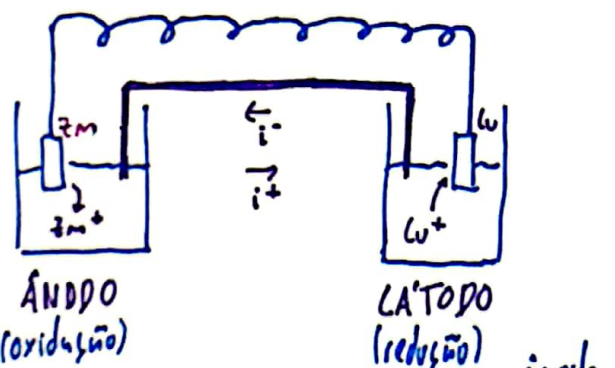
Ocorre transferência de elétrons e há variação do número de oxidação

Número de oxidação:

- 0 em qualquer elemento livre;
- Num ião, é dado pelo seu carga;
- -2 no oxigénio (-1 nos peróxidos);
- +1 no hidrogénio (-1 nos hidretos metálicos);
- soma dos números de oxidação dos elementos (de um ião → igual à carga do ião de uma molécula → igual a zero)
- Oxidação: perda de elétrons (aumento o número de oxidação)
- oxidante: espécie c/ grande afinidade eletrônica → causa a oxidação de outros (reduz-se)
- Redução: ganho de elétrons (diminui o número de oxidação)
- redutor: espécie c/ tendência a fornecer elétrons → causa a redução de outros (oxida-se)

Potencial de redução padrão: indica a tendência que um metal tem para se reduzir

Célula eletróquímica: exemplo: Zn e Cu

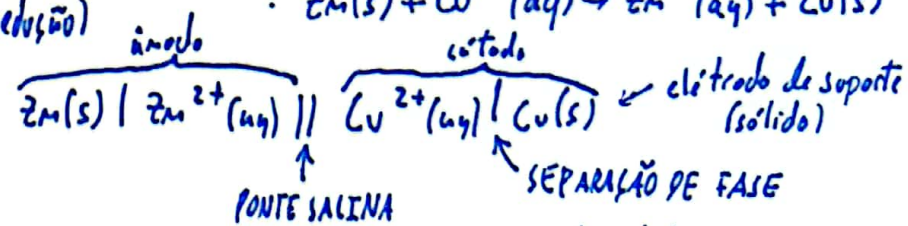
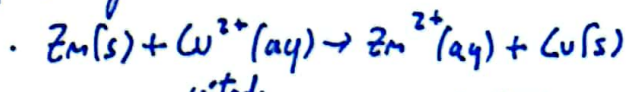


Representação esquemática

Equações parciais dos eletrodos:

- $Zn(s) \rightarrow Zn^{2+} + 2e^-$
- $Cu^{2+} + 2e^- \rightarrow Cu(s) \rightarrow$ menor potencial de redução

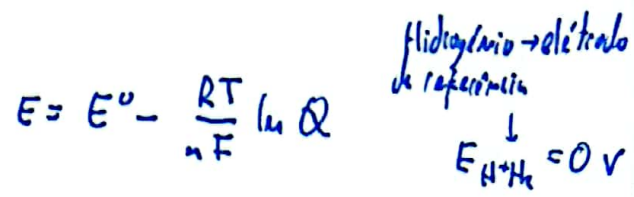
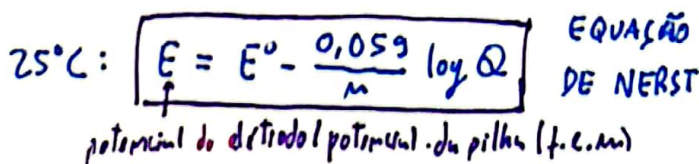
Equação global:



→ garante a neutralidade elétrica

Foco Eletroquímico:

$$f.e.m = E_{cat} - E_{an} = E_{pilha}$$

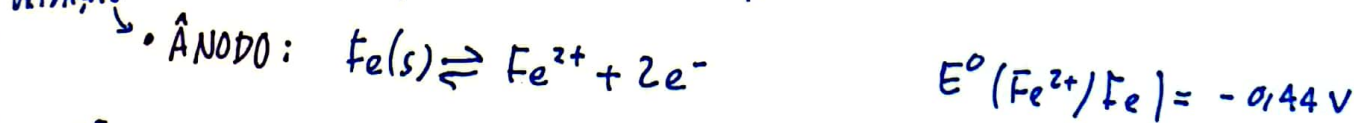


Tipos de células galvânicas:

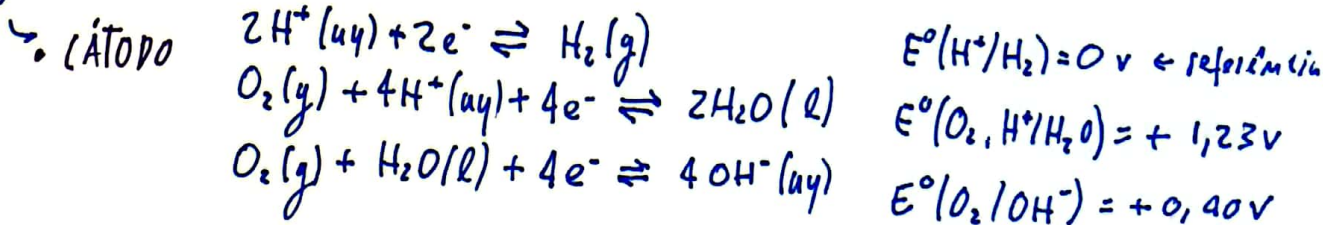
1. Pilha de composição → eletródos com diferentes composição química.
P/ ver qual é o ânodo e o cátodo, podemos usar a série eletroquímica
2. Pilha de concentração → eletródos com a mesma composição, mas diferentes concentrações das espécies em solução. P/ ver o ânodo e cátodo, calcular e compor os potenciais de redução (Eq. de Nernst)
3. Pilha de deformação (micropilha) → zonas anódicas: zonas onde os íons estão menos estabilizados (com maior energia) → + fáceis de oxidar
ex: defeitos estruturais, lacunas, zonas deformadas a frio, etc.

LABORATÓRIO 4B - Corrosão eletroquímica

corrosão de um metal: oxidação do metal quando em presença de ÁGUA, OXIGÉNIO
OXIDAÇÃO ↳ reações que provocam a corrosão do ferro



REDUÇÃO

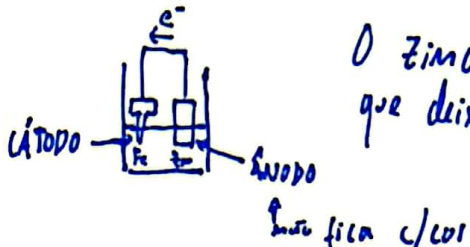


① AREGAMENTO DIFERENCIAL (pilha de concentração)

âmido

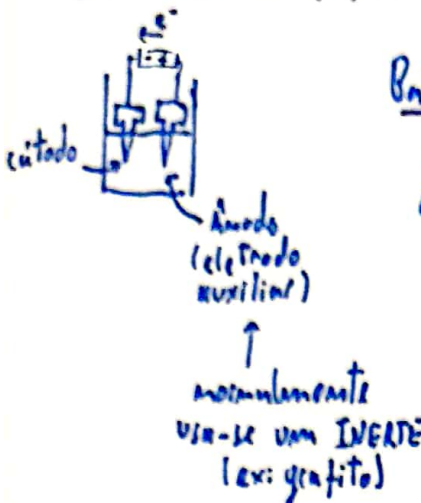
cátodo: zona em contacto com o ar / exposta a maior concentração de H^+ e O_2 , logo nesse zona haverá consumo extra de elétrões).

② PROT. CATÓDICA (ÂNODO DE SACRIFÍCIO)



O zinco tem menor potencial de redução → cede os elétrões ao Ferro, que deixou de ser o ânodo e passa a ser o CÁTODO (não se corrói)

③ PROT. CATÓDICA / POTENCIAL IMPOSTO



Baterias → impõe uma diferença de potencial, e um fluxo de elétrões ($\text{do} + \text{para o} -$) → um prego fica o cátodo (recebe elétrões), ou seja, não sofre corrosão.

④ ZONA DE FORMADA



A zona da dobrão é + frágil (menor energia) → maior corrosão (os átomos estão menos ligados → u passagem à solução por oxidação é + favorável). os átomos na "dobra" são + facilmente oxidados → passam para a solução.

NOTAS:

- Pressão de OH^- detetada pelo fenóltulciano (deteta o Cátodo)
- Detecção de Fe^{2+} baseia-se na formação do corante Azul de Turnbull (deteta o Anodo)

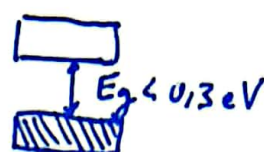
Capítulo 11 - PROPRIEDADES ELÉTRICAS

$$\sigma = n \cdot \mu_e \quad \begin{matrix} \uparrow \\ \text{mobilidade} \end{matrix}$$

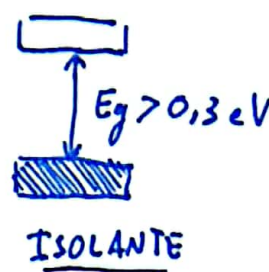
n : de portadores < $\begin{matrix} \text{elétrons (n)} \\ \text{lalumas (p)} \end{matrix}$



CONDUTOR



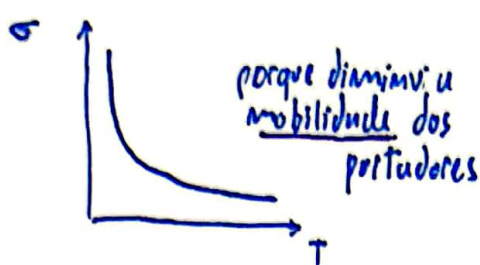
SEMI CONDUTOR



ISOLANTE

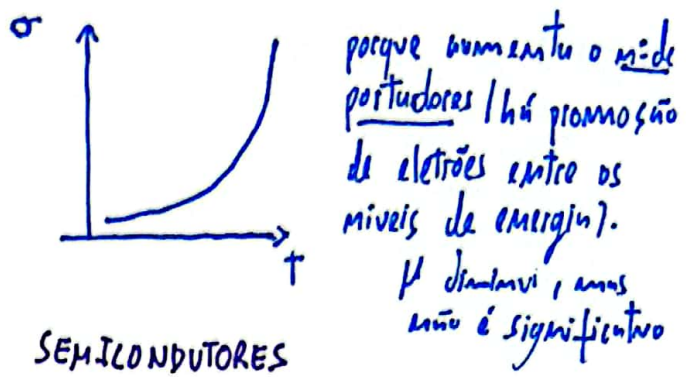
$Eg \rightarrow$ comprimento da BANDA PROIBIDA

$\Delta\sigma$ COM A TEMPERATURA:



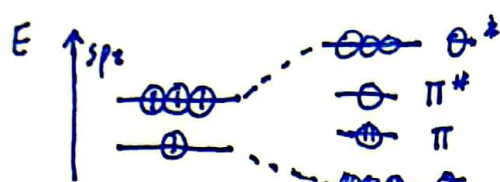
METAIS

\exists impurezas \Rightarrow menor condutividade



SEMICONDUTORES

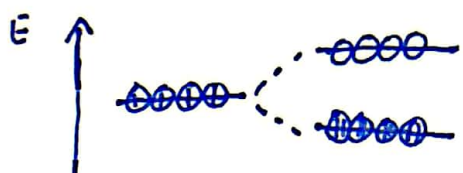
GRAFITE



	3N vazias
	2N (N preenchidas)
	3N preenchidas

condutor no longo dos planos, devido a orbitais π deslocalizados

DIAMANTE



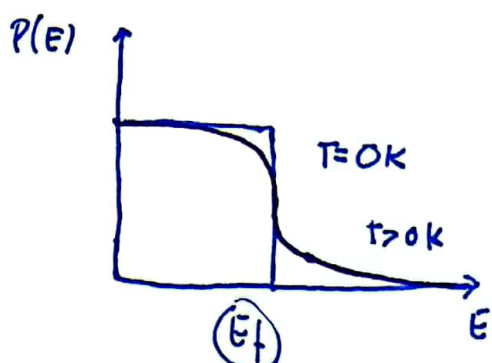
	4N vazias
	4N preenchidas

$E_g > 0,13 \text{ eV} \rightarrow$ isolante

Distribuição de Fermi-Dirac

$$P(E) = \frac{1}{1 + e^{\frac{E - E_f}{k_B T}}}$$

probabilidade de um elétron ocupar um estado de energia E



Nível de Fermi \rightarrow energia do último nível ocupado, quando $T = 0K$

nos semicondutores, está no "interior" da banda proibida

Semicondutores:

Intrínsecos \rightarrow puros $\sigma = n \cdot \mu$ ($n = p$)

Extrínsecos \rightarrow têm impurezas $n \neq p$

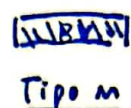
\rightarrow tipo n \rightarrow elétrões são os portadores maioriares (índice do grupo 15)

\rightarrow tipo p \rightarrow fótons são os portadores minoritários (índice do grupo 13)

elétrões
passam
facilmente
p/Bc



nível de impureza
dondona

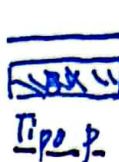


Ef. Deslocalizarse p/cima

Tipo n



elétrões passam facilmente
da BV plo nível da impureza

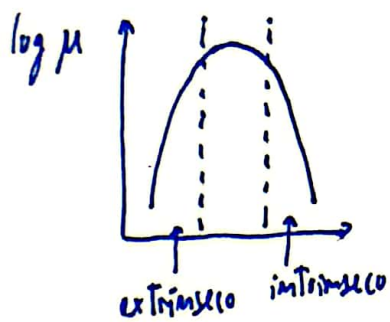


nível da impureza
aleitadora

Ef. Deslocar-se p/baixo

Em ambos os casos \Rightarrow AUMENTA a condutividade

Mobilidade dos portadores c/ a temperatura



A baixas T \rightarrow prevalece o efeito das impurezas (extrínseco)
(maior T \Rightarrow menor mobilidade)

A altas T \rightarrow impurezas insignificantes, os elétrões passam diretamente de BV p/ Bc (intrínseco)
(menor T \Rightarrow menor mobilidade)

\rightarrow + choques + vibrações

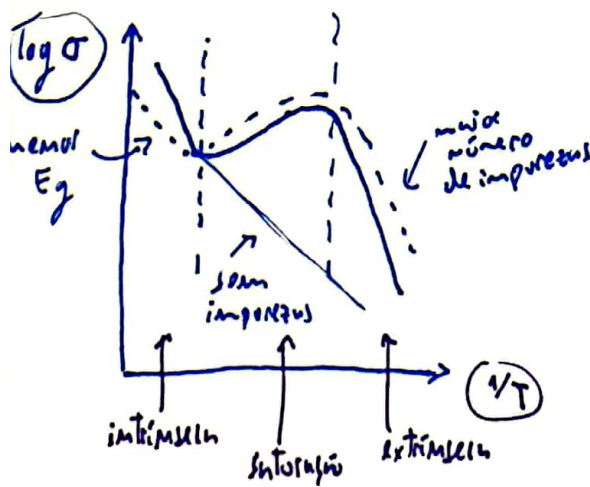
$$\text{NOTA: } \sigma = \sigma_0 e^{\left(-\frac{E_g}{2k_B T} \right)}$$

Variação da condutividade c/ a temperatura

Zona Extrínseca: antes e durante a ionização das impurezas. $+T \Rightarrow$ início da ionização \Rightarrow + portadores \Rightarrow + condutividade

Zona Saturação: impurezas ionizadas n = portadores constantes ($+T \Rightarrow -$ condutividade)

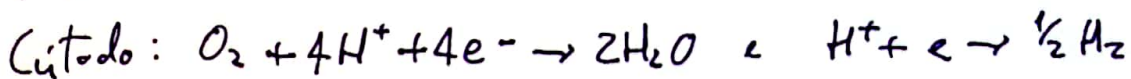
Zona intrínseca: promoção de e^- de BV a Bc
 $+T \Rightarrow +$ portadores $\Rightarrow +$ condutividade



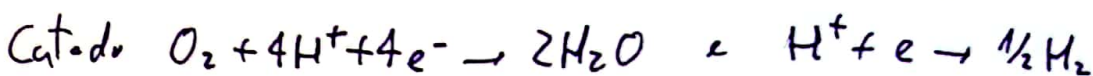
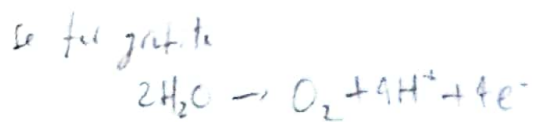
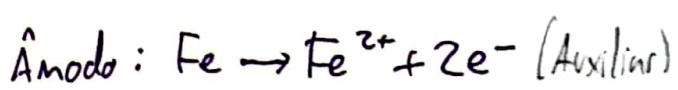
Proteção catódica: O prego a proteger, em ferro, foi ligado a um metal de potencial padrão de redução muito inferior, zinco mergulhado no mesmo eletrolito. Assim, o ferro passou a ser o catodo e o zinco o ânodo (eletrodo de sacrifício)

Proteção por potencial imposto: Com um gerador externo (pilha) imponemos um potencial positivo a um prego e negativo a outro mergulhados no mesmo eletrolito. O potencial a que se encontra o prego ligado ao polo negativo da pilha impede a sua oxidação (tornar-se o catodo) e o eletrodo positivo fornece elétrons, oxidando-se, sendo o ânodo.

Proteção catódica:



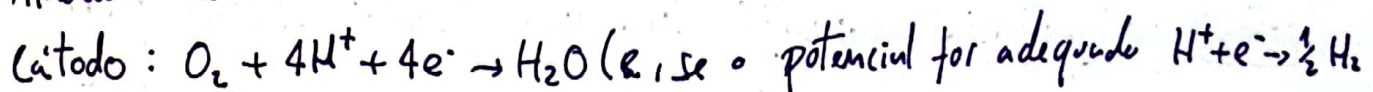
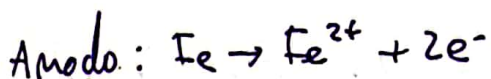
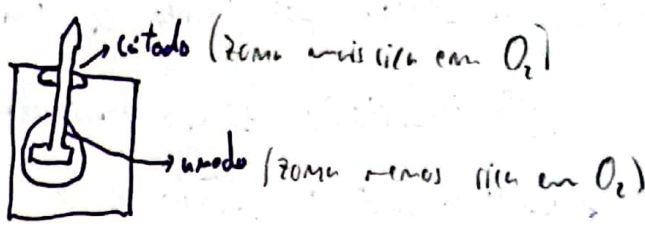
Proteção por potencial imposto:



Zona Deformada: Os átomos de zonas de um metal deformado a frio ou situados nos limites de grão cristalino estão mais fracamente ligados pelo que a sua energia interna é maior que a dos átomos numa zona não deformada. Assim, os átomos terão menor tendência a sair para a solução do que os situados em zonas não deformadas.

$$\Delta U' > \Delta U \Rightarrow \Delta G' > \Delta G \quad \Delta G = \Delta E$$

Arejamento diferencial:



Diferenças em teor de O₂

↑
causa a corrosão do
menos arejado

Tabela Periódica dos Elementos

1.º Período		2.º Período		3.º Período		4.º Período		5.º Período		6.º Período		7.º Período		8.º Período																																																																																																																																																																																															
H	1.008 ³³	He	4.03 ¹⁴	Li	6.93 ¹³	Be	9.02 ¹²	Na	22.99 ¹⁰	Mg	24.30 ⁹	K	39.09 ⁸	Ca	55.00 ⁷	Sc	69.72 ⁶	Ti	79.90 ⁵	V	91.96 ⁴	Cr	102.91 ³	Mn	114.82 ²	Fe	126.90 ¹	Co	138.91 ⁰	Ni	151.96 ⁻¹	Cu	165.93 ⁻²	Zn	177.95 ⁻³	Ga	189.98 ⁻⁴	Ge	201.99 ⁻⁵	As	213.98 ⁻⁶	Se	225.97 ⁻⁷	Br	237.97 ⁻⁸	Kr	249.98 ⁻⁹	Ar	261.98 ⁻¹⁰	Xe	272.98 ⁻¹¹	Rn	282.98 ⁻¹²	Ra	292.98 ⁻¹³	Ba	302.98 ⁻¹⁴	Fr	312.98 ⁻¹⁵	Cs	322.98 ⁻¹⁶	Ac	332.98 ⁻¹⁷	Tb	342.98 ⁻¹⁸	Yb	352.98 ⁻¹⁹	Pm	362.98 ⁻²⁰	Eu	372.98 ⁻²¹	Ho	382.98 ⁻²²	Dy	392.98 ⁻²³	Tm	402.98 ⁻²⁴	Ts	412.98 ⁻²⁵	At	422.98 ⁻²⁶	Rn	432.98 ⁻²⁷	No	442.98 ⁻²⁸	Lu	452.98 ⁻²⁹	Ra	462.98 ⁻³⁰	Fr	472.98 ⁻³¹	Cs	482.98 ⁻³²	Ac	492.98 ⁻³³	Tb	502.98 ⁻³⁴	Yb	512.98 ⁻³⁵	Pm	522.98 ⁻³⁶	Eu	532.98 ⁻³⁷	Ho	542.98 ⁻³⁸	Dy	552.98 ⁻³⁹	Tm	562.98 ⁻⁴⁰	Ts	572.98 ⁻⁴¹	At	582.98 ⁻⁴²	Rn	592.98 ⁻⁴³	No	602.98 ⁻⁴⁴	Lu	612.98 ⁻⁴⁵	Fr	622.98 ⁻⁴⁶	Cs	632.98 ⁻⁴⁷	Ac	642.98 ⁻⁴⁸	Tb	652.98 ⁻⁴⁹	Yb	662.98 ⁻⁵⁰	Pm	672.98 ⁻⁵¹	Eu	682.98 ⁻⁵²	Ho	692.98 ⁻⁵³	Dy	702.98 ⁻⁵⁴	Tm	712.98 ⁻⁵⁵	Ts	722.98 ⁻⁵⁶	At	732.98 ⁻⁵⁷	Rn	742.98 ⁻⁵⁸	No	752.98 ⁻⁵⁹	Lu	762.98 ⁻⁶⁰	Fr	772.98 ⁻⁶¹	Cs	782.98 ⁻⁶²	Ac	792.98 ⁻⁶³	Tb	802.98 ⁻⁶⁴	Yb	812.98 ⁻⁶⁵	Pm	822.98 ⁻⁶⁶	Eu	832.98 ⁻⁶⁷	Ho	842.98 ⁻⁶⁸	Dy	852.98 ⁻⁶⁹	Tm	862.98 ⁻⁷⁰	Ts	872.98 ⁻⁷¹	At	882.98 ⁻⁷²	Rn	892.98 ⁻⁷³	No	902.98 ⁻⁷⁴	Lu	912.98 ⁻⁷⁵	Fr	922.98 ⁻⁷⁶	Cs	932.98 ⁻⁷⁷	Ac	942.98 ⁻⁷⁸	Tb	952.98 ⁻⁷⁹	Yb	962.98 ⁻⁸⁰	Pm	972.98 ⁻⁸¹	Eu	982.98 ⁻⁸²	Ho	992.98 ⁻⁸³	Dy	1002.98 ⁻⁸⁴	Tm	1012.98 ⁻⁸⁵	Ts	1022.98 ⁻⁸⁶	At	1032.98 ⁻⁸⁷	Rn	1042.98 ⁻⁸⁸
Hidrogênio	1.008 ³³	Água	10.84 ¹²	Oxigénio	16.00 ⁸	Flúor	19.99 ⁶	Neônio	20.19 ⁵	Argônio	28.01 ⁴	Sérgio	35.45 ²	Neônio	39.98 ²	Argônio	40.98 ⁰	Hélio	40.98 ⁻¹	Neônio	40.98 ⁻²	Argônio	40.98 ⁻³	Hélio	40.98 ⁻⁴	Neônio	40.98 ⁻⁵	Argônio	40.98 ⁻⁶	Hélio	40.98 ⁻⁷	Neônio	40.98 ⁻⁸	Argônio	40.98 ⁻⁹	Hélio	40.98 ⁻¹⁰	Neônio	40.98 ⁻¹¹	Argônio	40.98 ⁻¹²	Hélio	40.98 ⁻¹³	Neônio	40.98 ⁻¹⁴	Argônio	40.98 ⁻¹⁵	Hélio	40.98 ⁻¹⁶	Neônio	40.98 ⁻¹⁷	Argônio	40.98 ⁻¹⁸	Hélio	40.98 ⁻¹⁹	Neônio	40.98 ⁻²⁰	Argônio	40.98 ⁻²¹	Hélio	40.98 ⁻²²	Neônio	40.98 ⁻²³	Argônio	40.98 ⁻²⁴	Hélio	40.98 ⁻²⁵	Neônio	40.98 ⁻²⁶	Argônio	40.98 ⁻²⁷	Hélio	40.98 ⁻²⁸	Neônio	40.98 ⁻²⁹	Argônio	40.98 ⁻³⁰	Hélio	40.98 ⁻³¹	Neônio	40.98 ⁻³²	Argônio	40.98 ⁻³³																																																																																																																										
1.º Período	2.º Período	3.º Período	4.º Período	5.º Período	6.º Período	7.º Período	8.º Período	9.º Período	10.º Período	11.º Período	12.º Período	13.º Período	14.º Período	15.º Período	16.º Período	17.º Período	18.º Período	19.º Período	20.º Período	21.º Período	22.º Período	23.º Período	24.º Período	25.º Período	26.º Período	27.º Período	28.º Período	29.º Período	30.º Período	31.º Período	32.º Período	33.º Período																																																																																																																																																																													
1.º Período	2.º Período	3.º Período	4.º Período	5.º Período	6.º Período	7.º Período	8.º Período	9.º Período	10.º Período	11.º Período	12.º Período	13.º Período	14.º Período	15.º Período	16.º Período	17.º Período	18.º Período	19.º Período	20.º Período	21.º Período	22.º Período	23.º Período	24.º Período	25.º Período	26.º Período	27.º Período	28.º Período	29.º Período	30.º Período	31.º Período	32.º Período	33.º Período																																																																																																																																																																													
1.º Período	2.º Período	3.º Período	4.º Período	5.º Período	6.º Período	7.º Período	8.º Período	9.º Período	10.º Período	11.º Período	12.º Período	13.º Período	14.º Período	15.º Período	16.º Período	17.º Período	18.º Período	19.º Período	20.º Período	21.º Período	22.º Período	23.º Período	24.º Período	25.º Período	26.º Período	27.º Período	28.º Período	29.º Período	30.º Período	31.º Período	32.º Período	33.º Período																																																																																																																																																																													
1.º Período	2.º Período	3.º Período	4.º Período	5.º Período	6.º Período	7.º Período	8.º Período	9.º Período	10.º Período	11.º Período	12.º Período	13.º Período	14.º Período	15.º Período	16.º Período	17.º Período	18.º Período	19.º Período	20.º Período	21.º Período	22.º Período	23.º Período	24.º Período	25.º Período	26.º Período	27.º Período	28.º Período	29.º Período	30.º Período	31.º Período	32.º Período	33.º Período																																																																																																																																																																													

Grande

H

He

H

1.º Período
H

Hidrogênio

Distribuição eletrônica por níveis de energia (1) →
Massa atómica relativa média (1) →
Raio atómico (pm) →
Número atómico (z) →
Nome (2) →
Ferro →
Energia de 1.ª ionização (kJ/mol) →
Eletronegatividade (Pauling) →

Aluminio →
Boro →
Carbono →
Nitrogénio →
Oxigénio →
Sílice →
Silício →
Fósforo →
Enxofre →
Enxofre →
Clore →
Árgon →
Neônio →
Hélio →
Cálcio →
Vanádio →
Titânio →
Ferro →
Cromo →
Manganês →
Molibdénio →
Técnicio →
Ruténio →
Rádio →
Paládio →
Prata →
Cádmio →
Gálio →
Germanio →
Arcénio →
Selénio →
Bromo →
CRIPTON →
Arenito →
Loduro →
Iodo →
Xénon →
Bismuto →
Teledúrio →
Bélido →
Polónio →
Atomo →
Rádon →
Óganesson →

Metálico →
Magnetórico →
Transição →
Internas →
Nobre →
Hidrógeno →
Frigógeno →
Cloreto →
Óxido →
Carbeto →
Monóxido →
Dioxido →
Trióxido →
Tetraóxido →
Pentaóxido →
Hexaóxido →
Heptáóxido →
Octaóxido →
Nonaóxido →
Decaóxido →
Hidrocarbonetos →
Sulfato →
Chlorato →
Bromoato →
Óxido de Arseno →
Óxido de Fósforo →
Óxido de Selenio →
Óxido de Selénio →
Óxido de Bórgio →
Óxido de Vênio →
Óxido de Crómio →
Óxido de Manganês →
Óxido de Molibdénio →
Óxido de Técnicio →
Óxido de Ruténio →
Óxido de Paládio →
Óxido de Prata →
Óxido de Cádmio →
Óxido de Gálio →
Óxido de Germanio →
Óxido de Arsenio →
Óxido de Selénio →
Óxido de Bismuto →
Óxido de Teledúrio →
Óxido de Loduro →
Óxido de Polónio →
Óxido de Atomo →
Óxido de Rádon →
Óxido de Óganesson →
Óxido de Metálico →
Óxido de Magnetórico →
Óxido de Transição →
Óxido de Internas →
Óxido de Nobre →
Óxido de Hidrógeno →
Óxido de Frigógeno →
Óxido de Cloreto →
Óxido de Óxido →
Óxido de Carbeto →
Óxido de Monóxido →
Óxido de Dioxido →
Óxido de Trióxido →
Óxido de Tetraóxido →
Óxido de Heptáóxido →
Óxido de Octaóxido →
Óxido de Nonaóxido →
Óxido de Decaóxido →
Óxido de Hidrocarbonetos →
Óxido de Sulfato →
Óxido de Chlorato →
Óxido de Bromato →
Óxido de Arsenato →
Óxido de Fosfato →
Óxido de Selénato →
Óxido de Selenato →
Óxido de Bórgato →
Óxido de Vénato →
Óxido de Crómato →
Óxido de Manganato →
Óxido de Molibdénato →
Óxido de Técnicato →
Óxido de Ruténato →
Óxido de Paládato →
Óxido de Prata →
Óxido de Cádmato →
Óxido de Gálico →
Óxido de Germanato →
Óxido de Arsenato →
Óxido de Selénato →
Óxido de Bismuto →
Óxido de Teledúrato →
Óxido de Loduro →
Óxido de Polónato →
Óxido de Atomo →
Óxido de Rádon →
Óxido de Óganenoso →
Óxido de Metálico →
Óxido de Magnetórico →
Óxido de Transição →
Óxido de Internas →
Óxido de Nobre →
Óxido de Hidrógeno →
Óxido de Frigógeno →
Óxido de Cloreto →
Óxido de Óxido →
Óxido de Carbeto →
Óxido de Monóxido →
Óxido de Dioxido →
Óxido de Trióxido →
Óxido de Tetraóxido →
Óxido de Heptáóxido →
Óxido de Octaóxido →
Óxido de Nonaóxido →
Óxido de Decaóxido →
Óxido de Hidrocarbonetos →
Óxido de Sulfato →
Óxido de Chlorato →
Óxido de Bromato →
Óxido de Arsenato →
Óxido de Fosfato →
Óxido de Selénato →
Óxido de Selenato →
Óxido de Bórgato →
Óxido de Vénato →
Óxido de Crómato →
Óxido de Manganato →
Óxido de Molibdénato →
Óxido de Técnicato →
Óxido de Ruténato →
Óxido de Paládato →
Óxido de Prata →
Óxido de Cádmato →
Óxido de Gálico →
Óxido de Germanato →
Óxido de Arsenato →
Óxido de Selénato →
Óxido de Bismuto →
Óxido de Teledúrato →
Óxido de Loduro →
Óxido de Polónato →
Óxido de Atomo →
Óxido de Rádon →
Óxido de Óganenoso →
Óxido de Metálico →
Óxido de Magnetórico →
Óxido de Transição →
Óxido de Internas →
Óxido de Nobre →
Óxido de Hidrógeno →
Óxido de Frigógeno →
Óxido de Cloreto →
Óxido de Óxido →
Óxido de Carbeto →
Óxido de Monóxido →
Óxido de Dioxido →
Óxido de Trióxido →
Óxido de Tetraóxido →
Óxido de Heptáóxido →
Óxido de Octaóxido →
Óxido de Nonaóxido →
Óxido de Decaóxido →
Óxido de Hidrocarbonetos →
Óxido de Sulfato →
Óxido de Chlorato →
Óxido de Bromato →
Óxido de Arsenato →
Óxido de Fosfato →
Óxido de Selénato →
Óxido de Selenato →
Óxido de Bórgato →
Óxido de Vénato →
Óxido de Crómato →
Óxido de Manganato →
Óxido de Molibdénato →
Óxido de Técnicato →
Óxido de Ruténato →
Óxido de Paládato →
Óxido de Prata →
Óxido de Cádmato →
Óxido de Gálico →
Óxido de Germanato →
Óxido de Arsenato →
Óxido de Selénato →
Óxido de Bismuto →
Óxido de Teledúrato →
Óxido de Loduro →
Óxido de Polónato →
Óxido de Atomo →
Óxido de Rádon →
Óxido de Óganenoso →
Óxido de Metálico →
Óxido de Magnetórico →
Óxido de Transição →
Óxido de Internas →
Óxido de Nobre →
Óxido de Hidrógeno →
Óxido de Frigógeno →
Óxido de Cloreto →
Óxido de Óxido →
Óxido de Carbeto →
Óxido de Monóxido →
Óxido de Dioxido →
Óxido de Trióxido →
Óxido de Tetraóxido →
Óxido de Heptáóxido →
Óxido de Octaóxido →
Óxido de Nonaóxido →
Óxido de Decaóxido →
Óxido de Hidrocarbonetos →
Óxido de Sulfato →
Óxido de Chlorato →
Óxido de Bromato →
Óxido de Arsenato →
Óxido de Fosfato →
Óxido de Selénato →
Óxido de Selenato →
Óxido de Bórgato →
Óxido de Vénato →
Óxido de Crómato →
Óxido de Manganato →
Óxido de Molibdénato →
Óxido de Técnicato →
Óxido de Ruténato →
Óxido de Paládato →
Óxido de Prata →
Óxido de Cádmato →
Óxido de Gálico →
Óxido de Germanato →
Óxido de Arsenato →
Óxido de Selénato →
Óxido de Bismuto →
Óxido de Teledúrato →
Óxido de Loduro →
Óxido de Polónato →
Óxido de Atomo →
Óxido de Rádon →
Óxido de Óganenoso →
Óxido de Metálico →
Óxido de Magnetórico →
Óxido de Transição →
Óxido de Internas →
Óxido de Nobre →
Óxido de Hidrógeno →
Óxido de Frigógeno →
Óxido de Cloreto →
Óxido de Óxido →
Óxido de Carbeto →
Óxido de Monóxido →
Óxido de Dioxido →
Óxido de Trióxido →
Óxido de Tetraóxido →
Óxido de Heptáóxido →
Óxido de Octaóxido →
Óxido de Nonaóxido →
Óxido de Decaóxido →
Óxido de Hidrocarbonetos →
Óxido de Sulfato →
Óxido de Chlorato →
Óxido de Bromato →
Óxido de Arsenato →
Óxido de Fosfato →
Óxido de Selénato →
Óxido de Selenato →
Óxido de Bórgato →
Óxido de Vénato →
Óxido de Crómato →
Óxido de Manganato →
Óxido de Molibdénato →
Óxido de Técnicato →
Óxido de Ruténato →
Óxido de Paládato →
Óxido de Prata →
Óxido de Cádmato →
Óxido de Gálico →
Óxido de Germanato →
Óxido de Arsenato →
Óxido de Selénato →
Óxido de Bismuto →
Óxido de Teledúrato →
Óxido de Loduro →
Óxido de Polónato →
Óxido de Atomo →
Óxido de Rádon →
Óxido de Óganenoso →
Óxido de Metálico →
Óxido de Magnetórico →
Óxido de Transição →
Óxido de Internas →
Óxido de Nobre →
Óxido de Hidrógeno →
Óxido de Frigógeno →
Óxido de Cloreto →
Óxido de Óxido →
Óxido de Carbeto →
Óxido de Monóxido →
Óxido de Dioxido →
Óxido de Trióxido →
Óxido de Tetraóxido →
Óxido de Heptáóxido →
Óxido de Octaóxido →
Óxido de Nonaóxido →
Óxido de Decaóxido →
Óxido de Hidrocarbonetos →
Óxido de Sulfato →
Óxido de Chlorato →
Óxido de Bromato →
Óxido de Arsenato →
Óxido de Fosfato →
Óxido de Selénato →
Óxido de Selenato →
Óxido de Bórgato →
Óxido de Vénato →
Óxido de Crómato →
Óxido de Manganato →
Óxido de Molibdénato →
Óxido de Técnicato →
Óxido de Ruténato →
Óxido de Paládato →
Óxido de Prata →
Óxido de Cádmato →
Óxido de Gálico →
Óxido de Germanato →
Óxido de Arsenato →
Óxido de Selénato →
Óxido de Bismuto →
Óxido de Teledúrato →
Óxido de Loduro →
Óxido de Polónato →
Óxido de Atomo →
Óxido de Rádon →
Óxido de Óganenoso →
Óxido de Metálico →
Óxido de Magnetórico →
Óxido de Transição →
Óxido de Internas →
Óxido de Nobre →
Óxido de Hidrógen